

## 基础研究

## Rho 激酶和自噬在法舒地尔抗心肌缺血/再灌注损伤中的作用

叶红伟<sup>1</sup>, 方婷婷<sup>1</sup>, 谷小雨<sup>1</sup>, 王 娅<sup>1</sup>, 朱广宇<sup>2</sup>, 于 影<sup>1</sup>, 高 琴<sup>1</sup>  
蚌埠医学院<sup>1</sup>生理学教研室,<sup>2</sup>生物科学系, 安徽 蚌埠 233030

**摘要:**目的 探讨自噬在法舒地尔(Fasudil)抑制Rho激酶心肌保护中的变化,并分析其作用及可能机制。方法 离体大鼠心脏Langendorff装置灌流,结扎冠状动脉左前降支30 min模拟局部心肌缺血,松开结扎线恢复灌流120 min复制心肌缺血/再灌注(ischemia/reperfusion, I/R)模型。实验分3组:I/R组、法舒地尔(Fasudil)组、和Fasudil+自噬抑制剂渥曼青霉素(Wort)组。连续记录左心室动力学变化,收集再灌注5、10 min冠脉流出液测乳酸脱氢酶(lactate dehydrogenase, LDH)含量;RT-PCR检测自噬相关基因Atg5、Beclin1和凋亡相关基因Bax、Bcl-2 mRNA表达的变化,Western blotting检测caspase 3的表达变化。结果 与I/R组比,Fasudil使左心室发展压、左心室内压最大上升及下降速率、左心室做功明显得到改善,降低复灌期冠脉流出液中LDH的释放,Atg5、Beclin1 mRNA表达增加,Bcl-2/Bax mRNA升高,caspase 3蛋白表达降低。自噬抑制剂Wort减弱了法舒地尔的保护作用,抑制了心室动力学指标的恢复,LDH释放增多,Atg5和Beclin1 mRNA表达降低,Bcl-2/Bax降低,caspase 3蛋白表达升高。结论 抑制Rho激酶心肌保护作用中诱导了自噬的发生,且自噬起到保护心肌的作用,可能与减少细胞凋亡有关。

**关键词:**心脏;缺血/再灌注损伤;自噬;法舒地尔;渥曼青霉素

## Role of autophagy in fasudil-induced Rho kinase inhibition for protection against myocardial ischemia-reperfusion injury in rats

YE Hongwei<sup>1</sup>, FANG Tingting<sup>1</sup>, GU Xiaoyu<sup>1</sup>, WANG Ya<sup>1</sup>, ZHU Guangyu<sup>2</sup>, YU Ying<sup>1</sup>, GAO Qin<sup>1</sup>

<sup>1</sup>Department of Physiology, <sup>2</sup>Department of Biological Sciences, Bengbu Medical College, Bengbu 233030, China

**Abstract: Objective** To investigate the changes of autophagy in ischemic myocardium of rats treated with fasudil for inhibiting Rho kinase. **Methods** The hearts isolated from male Sprague-Dawley rats were subjected to 30 min of occlusion of the left anterior descending artery followed by 120 min of reperfusion with or without treatment with fasudil or fasudil+Wort. The left ventricular hemodynamics were continuously recorded, and the coronary effluent was collected during the reperfusion to determine lactate dehydrogenase (LDH) levels. The mRNA expressions of autophagy-related genes *Atg5* and *Beclin1* and apoptosis-related genes *bax* and *bcl-2* were detected by RT-PCR, and the protein expression of caspase-3 was detected by Western blotting. **Results** Compared with I/R group, fasudil significantly improved the left ventricular developed pressure, maximal rise/fall rate of left ventricular pressure and rate pressure product, reduced LDH release during reperfusion, increased *Atg5* and *Beclin1* mRNA expression and the ratio of Bcl-2/Bax, and lowered caspase 3 protein expression. The autophagy inhibitor Wort significantly attenuated the effect of fasudil in the rat hearts. **Conclusion** Fasudil treatment for inhibiting Rho kinase promoted autophagy in *ex vivo* rat heart to protect against myocardial ischemia-reperfusion injury possibly by reducing apoptosis of the cardiac myocytes.

**Key words:** hearts; ischemia/reperfusion injury; autophagy; fasudil; wortmannin

心血管疾病威胁着人类的生命健康,再灌注疗法改善了心脏功能,取得了很好的疗效,也引起了新问题——缺血/再灌注(ischemia/reperfusion, I/R)损伤。研究I/R损伤的相关机制,有助于防治临床心肌损伤的发生,Rho激酶和自噬都参与了心肌I/R损伤。Rho激酶

是一类丝-苏氨酸蛋白家族,抑制Rho激酶可以起到抗心肌缺血/再灌注损伤作用<sup>[1-2]</sup>。自噬是现阶段的各种疾病机制的研究热点,早期认为自噬是进化过程中高度保守的、在溶酶体内降解细胞质成分的正常生理过程,除维持生理机体稳态功能外,近年来相继报道自噬功能的失调还与衰老、神经退行性病变、心血管疾病等相关<sup>[3-4]</sup>,自噬在心肌I/R损伤中的作用存在争议,一方面认为自噬增强可能导致细胞死亡,加重心肌I/R损伤<sup>[5]</sup>,另一方面却认为自噬在I/R损伤中起着有益的作用<sup>[6-7]</sup>。因此,尽管多种研究表明自噬参与心肌I/R损伤,但自噬的作用仍无定论。有研究表明Rho激酶与自噬之间存在一

收稿日期:2016-09-14

基金项目:安徽省自然科学基金(1508085MH169,1508085QH150);蚌埠医学院校级科研项目(byky1311);安徽省大学生创新创业训练项目(201510367019)

作者简介:叶红伟,硕士,讲师,E-mail: yehongwei223@163.com

通信作者:高 琴,博士,教授,电话:0552-3175271,E-mail: bbmccgq@126.com

定的联系<sup>[8]</sup>,但在法舒地尔抑制 Rho 激酶对抗心肌 I/R 损伤中,自噬如何发生,发挥何种作用尚未见报道,尽早明确自噬的作用及可能机制可为减轻心肌 I/R 损伤提供治疗新途径。本研究通过复制离体大鼠心肌 I/R 损伤模型,观察抑制 Rho 激酶心肌保护作用的同时,检测自噬相关基因 Atg5、Beclin1 mRNA 表达的变化,以明确自噬是否参与抑制 Rho 激酶的心肌保护;应用自噬抑制剂进一步探讨自噬在法舒地尔心肌保护中的作用,并观察凋亡相关因子的改变,分析自噬与凋亡的发生在心肌保护作用中的关联。

## 1 材料和方法

### 1.1 实验动物和材料

健康 Sprague-Dawley (SD) 大鼠,雄性,SPF 级,体质量 220~250 g,共 24 只,由蚌埠医学院实验动物中心提供。川威(盐酸法舒地尔注射液),Rho 激酶抑制剂,购自天津红日药业股份有限公司。自噬抑制剂渥曼青霉素 (Wortmannin, Wort) 购自于 Sigma 公司。改良 Krebs-Henseleit (K-H) 液成分:NaCl 118 mmol/L, KCl 4.7 mmol/L, KH<sub>2</sub>PO<sub>4</sub> 1.2 mmol/L, MgSO<sub>4</sub> 1.2 mmol/L, CaCl<sub>2</sub> 2.5 mmol/L, NaHCO<sub>3</sub> 25 mmol/L, Glucose 11 mmol/L, pH 7.3~7.4。Trizol 总 RNA 提取试剂购自 Invitrogen 公司;逆转录试剂盒和 PCR 试剂盒购自 Fermentas 公司;引物合成于上海生工生物工程技术服务有限公司,Atg5 引物:上游序列 5'-AGT GGA GGC AAC AGA ACC-3',下游序列 5'-GAC ACG AAC TGG CAC ATT-3',预计扩增产物长度 205 bp;Beclin1 引物:上游序列 5'-GAG CCA TTT ATT GAA ACT CGC CA-3',下游序列 5'-CCT CCC CGA TCA GAG TGA A-3',预计扩增产物长度为 106 bp;Bax 引物:上游序列 5'-GGA TCG AGC AGA GAG GAT GG-3',下游序列 5'-TGG TGA GTG AGG CAG TGA GG-3',预计扩增产物长度 464 bp;Bcl-2 引物:上游序列 5'-CTG GTG GAC AAC ATC GCT CTG-3',下游序列 5'-GGT CTG CTG ACC TCA CTT GTG-3',预计扩增产物长度 228 bp;以  $\beta$ -actin 为内参照,引物上游序列 5'-CTG TAT GCC TCT GGT CGT AC-3',下游序列 5'-TGA TGT CAC GCA CGA TTT CC-3',预计扩增产物长度 214 bp。一抗小鼠抗大鼠  $\beta$ -actin 抗体、兔抗大鼠 caspase 3 抗体均购自 Cell Signaling Technology 公司,二抗 HRP 标记的羊抗兔 IgG、HRP 标记的羊抗小鼠 IgG 均购自 Affinity 公司。

### 1.2 离体大鼠心肌缺血/再灌注损伤模型制备及分组

4%水合氯醛麻醉大鼠,断头器上断头,开胸迅速取心脏置冰水停搏,Langendorff 装置上行主动脉干逆行灌注。K-H 液恒压(76 mmHg)灌注,以 95% O<sub>2</sub>+5% CO<sub>2</sub>饱和,维持灌注液温度 37 °C 恒温。切开左心耳将乳

胶囊插入至左心室,囊内压力经特氟纶管传递至压力传感器,Medlab 生物信号采集处理系统记录实验结果。待心脏稳定 25 min 后,进行实验干预。将大鼠随机分 3 组,每组 8 只:(1)缺血/再灌注 (ischemia/reperfusion, I/R) 损伤组:将大鼠冠状动脉左前降支结扎 30 min 复制局部心肌缺血,随之解开结扎线灌流 120 min 作为单纯 I/R;(2)Fasudil 组:同 I/R 组,期间(缺血前 10 min 至再灌注初期 10 min)给予法舒地尔 30  $\mu$ mol/L,共灌流 50 min;(3)Fasudil+Wort 组:同 I/R 组,期间(同上)同时给予法舒地尔 30  $\mu$ mol/L+渥曼青霉素 100 nmol/L,共灌流 50 min。

### 1.3 左心室功能指标

向乳胶囊注水调整左心室舒张末压 (left ventricular end diastolic pressure, LVEDP) 维持在 4~10 mmHg,Medlab 生物信号采集处理系统记录左心室发展压 (left ventricular developed pressure, LVDP)、LVEDP 和左心室内压最大上升和下降速率 (maximal rise/fall rate of left ventricular pressure,  $\pm dp/dt_{max}$ ),计算左心室做功量 (rate pressure product, RPP),  $RPP = LVDP \times HR$ <sup>[9]</sup>。

### 1.4 离体心脏冠脉流出液中乳酸脱氢酶 (lactate dehydrogenase, LDH) 含量测定

再灌注第 5 min 和第 10 min 收集冠脉流出液,分光光度法测定冠脉流出液中乳酸脱氢酶 (lactate dehydrogenase, LDH) 的含量,单位以 U/L 表示。

### 1.5 RT-PCR 检测 Atg5、Beclin1、Bax 和 Bcl-2 mRNA 表达

利用 Trizol 总 RNA 提取试剂提取左心室组织总 RNA,取总 RNA 3  $\mu$ L 作模板,逆转录试剂盒合成 cDNA,PCR 试剂盒取 1.5  $\mu$ L cDNA 为模板,进行扩增。扩增条件:95 °C 预变性 3 min 后,以 (1)95 °C 30 s 变性;(2)Atg5 退火温度 56 °C 30 s,Beclin1 退火温度 57 °C 30 s,Bax 退火温度 64.5 °C 30 s,Bcl-2 退火温度 61.5 °C 30 s, $\beta$ -actin 退火温度 58 °C 30 s;(3)72 °C 35 s,循环数为 30,最后一轮延伸 10 min。取 4  $\mu$ L PCR 扩增产物进行琼脂糖凝胶电泳,溴化乙锭显色。GIS 凝胶图像处理系统拍摄记录,图像分析软件扫描泳带净光密度值作半定量分析,以目的基因与内参的净光密度比值 (Atg5/ $\beta$ -actin; Beclin1/ $\beta$ -actin; Bcl-2/ $\beta$ -actin; Bax/ $\beta$ -actin) 表示 mRNA 相对表达量,并计算 Bcl-2/Bax 比值。

### 1.6 Western blotting 检测心肌组织 caspase 3 的表达

收集再灌注后心肌组织,试剂盒提取蛋白,BCA 蛋白定量法测定蛋白浓度。配制 6%~15% SDS 聚丙烯酰胺凝胶,进行电泳分离蛋白,然后 200 mA 将蛋白转至 PVDF 膜上。室温下 5% 脱脂奶粉封闭 2 h,用相应的 I 抗 (1:1000) 4 °C 孵育膜过夜,洗涤后换 HRP 标记 II 抗室温孵育 2 h。洗涤后采用化学发光试剂盒在 CE Image

Quant LAS 4000 mini超灵敏化学发光成像仪显影,使用Image J的软件分析条带灰度值。

1.7 统计分析

实验数据以均数±标准差表示。各组间数据显著性检验采用单因素方差(One-way ANOVA)分析,两两比较采用*q*检验,*P*<0.05为有统计学意义。

2 结果

表1 离体大鼠心脏动力学指标  
Tab.1 Hemodynamic parameters of the isolated rat heart (Mean±SD, n=8)

Parameters	Baseline	Ischemia 30 min	Reperfusion			
			30 min	60 min	90 min	120 min
LVDP (mmHg)						
I/R	91.20±18.06	63.74±8.51	45.56±5.09	41.04±3.01	37.29±3.90	34.67±3.07
Fasudil	92.81±2.72	43.88±13.17	56.28±4.89**	52.10±8.04**	50.55±9.99**	47.93±10.37**
Fasudil+Wort	85.85±4.07	47.09±7.19	49.90±7.49 <sup>#</sup>	47.40±3.64 <sup>#</sup>	40.09±2.69 <sup>##</sup>	40.86±4.49 <sup>#</sup>
LVEDP (mmHg)						
I/R	9.56±2.14	18.58±1.06	28.35±2.60	27.16±2.57	26.77±3.44	25.77±4.17
Fasudil	8.88±2.13	25.21±2.33	23.75±2.07**	23.26±4.81*	21.64±5.33*	20.27±4.92*
Fasudil+Wort	7.95±0.63	30.44±5.72	35.01±3.38*** <sup>##</sup>	32.98±2.86*** <sup>##</sup>	30.81±3.55 <sup>##</sup>	28.91±3.87 <sup>##</sup>
+dp/dtmax (mmHg/s, ×10 <sup>3</sup> )						
I/R	-	-	-	-	-	-
I/R	2.27±0.37	1.55±0.28	1.32±0.17	1.19±0.16	1.07±0.13	1.06±0.23
Fasudil	2.12±0.28	1.23±0.16	1.56±0.16**	1.44±0.20*	1.39±0.23**	1.35±0.24*
Fasudil+Wort	2.29±0.46	1.19±0.26	1.27±0.16 <sup>##</sup>	1.22±0.11 <sup>#</sup>	1.18±0.12 <sup>#</sup>	1.05±0.11 <sup>#</sup>
-dp/dtmax (mmHg/s, ×10 <sup>3</sup> )						
I/R	-	-	-	-	-	-
I/R	1.47±0.29	0.96±0.22	0.72±0.16	0.66±0.13	0.59±0.11	0.57±0.15
Fasudil	1.49±0.14	0.71±0.13	0.89±0.12*	0.83±0.14*	0.80±0.14**	0.77±0.13*
Fasudil+Wort	1.38±0.37	0.67±0.19	0.69±0.06 <sup>#</sup>	0.66±0.05 <sup>##</sup>	0.63±0.6 <sup>##</sup>	0.61±0.04 <sup>#</sup>
RPP(mmHg×beats, ×10 <sup>3</sup> )						
I/R	22.48±3.80	12.68±0.92	8.89±1.43	7.91±0.99	6.71±0.59	5.64±0.51
Fasudil	25.90±2.09	10.41±1.99	11.48±1.48*	10.74±1.53**	10.06±1.69**	8.99±1.14**
Fasudil+Wort	23.16±5.73	7.54±2.33	9.17±1.87 <sup>##</sup>	8.56±2.01 <sup>#</sup>	8.29±1.90 <sup>#</sup>	7.41±1.49*** <sup>#</sup>

\**P*<0.05, \*\**P*<0.01 vs I/R group; <sup>#</sup>*P*<0.05, <sup>##</sup>*P*<0.01 vs Fasudil group.

2.2 离体心脏冠脉流出液中LDH含量测定

与单纯I/R相比,Fasudil使复灌不同时间点大鼠心脏冠脉流出液中LDH释放减少;与Fasudil组相比,Fasudil+Wort组LDH释放增加(图1)。

2.3 心肌组织Atg5、Beclin1、Bcl-2和Bax mRNA的表达

单纯I/R组自噬相关基因Atg5和Beclin1和凋亡相关因子Bcl-2和Bax mRNA均有表达,提示自噬和凋亡

2.1 左心室功能改变

单纯I/R组大鼠心脏缺血与复灌期间LVDP降低,LVEDP上抬,±dp/dtmax降低,RPP降低;与单纯I/R组相比,Fasudil组LVDP和±dp/dtmax得到恢复,LVEDP降低,RPP增加;与Fasudil组相比,自噬抑制剂Wort干预后LVDP、±dp/dtmax和RPP均降低,再灌期间LVED明显升高,提示抑制自噬减弱了法舒地尔的作用(表1)。

均参与心肌I/R损伤;与单纯I/R组相比,Fasudil组Atg5和Beclin1 mRNA表达增加,抑制凋亡因子Bcl-2表达增加,Bcl-2/Bax比值增高;与Fasudil组比较,Fasudil+Wort组Atg5和Beclin1 mRNA表达减少,Bcl-2/Bax比值降低(表2,图2,图3)。

2.4 心肌组织中caspase 3蛋白表达

与单纯I/R组相比,Fasudil组caspase 3蛋白表达降

chinaXiv:201712.00232v1



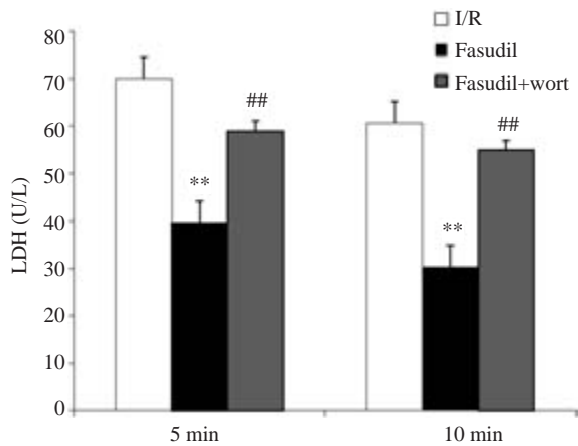


图1 心脏冠脉流出液中乳酸脱氢酶含量  
Fig.1 LDH content in the coronary effluent in different groups ( $n=8$ , U/L, Mean $\pm$ SD). \*\* $P<0.01$  vs I/R group; ## $P<0.01$  vs Fasudil group.

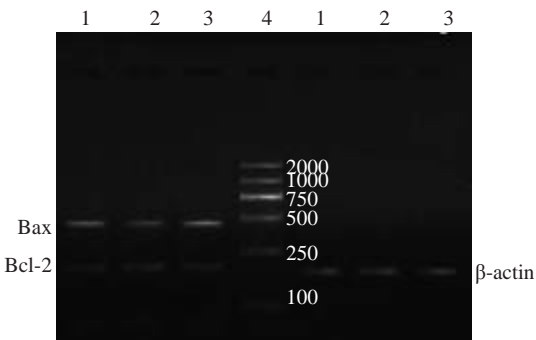


图3 各组心肌组织中 Bcl-2 和 Bax mRNA 琼脂糖凝胶电泳  
Fig.3 Agarose gel electrophoresis of Bcl-2 mRNA and Bax mRNA in different groups. 1: I/R group; 2: Fasudil group; 3: Fasudil+Wort group; 4: Marker.

低;与 Fasudil 组比较, Fasudil+Wort 组 caspase 3 蛋白表达升高(图4,表3)。

### 3 讨论

心血管疾病的再灌注疗法带来新的问题——缺血/再灌注(ischemia/reperfusion, I/R)损伤,钙超载、氧化应激、中性粒细胞学说等现已得到公认,但其发生机制还需进一步阐明。Rho 激酶在 I/R 损伤中起到很重要的作用,抑制 Rho 激酶可以激活 PI3K/Akt 信号通路保护心脏<sup>[10-11]</sup>;我们前期的研究显示法舒地尔能够抑制 Rho 激酶信号通路发挥心肌保护作用,其机制可能与激动 ALDH2、抑制细胞凋亡发生有关<sup>[12]</sup>,可见 Rho 激酶可能通过不同机制参与了心肌 I/R 损伤,其中是否有自噬的参与、自噬发挥何种作用以及相关机制未见报道,还需进一步探讨。

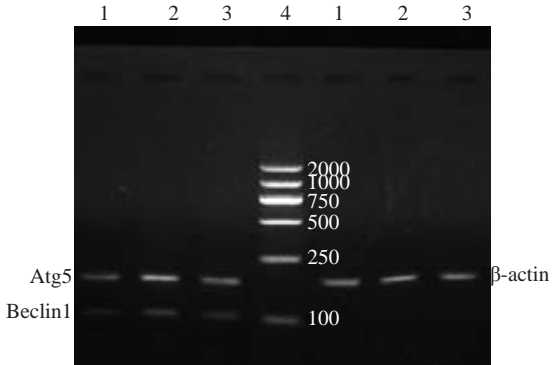


图2 各组心肌组织中 Atg5 和 Beclin1 mRNA 琼脂糖凝胶电泳  
Fig.2 Agarose gel electrophoresis of Atg5 and Beclin1 mRNA in different groups. 1: I/R group; 2: Fasudil group; 3: Fasudil+Wort group; 4: Marker.

表2 各组心肌组织中 Atg5、Beclin1、Bcl-2 和 Bax mRNA 表达

Tab.2 Atg5, Beclin1, Bcl-2 and Bax mRNA expressions in myocardial tissue and the ratio of Bcl-2/Bax in different groups (Mean $\pm$ SD,  $n=8$ )

Group	Atg5/ $\beta$ -actin	Beclin1/ $\beta$ -actin	Bcl-2/ $\beta$ -actin	Bax/ $\beta$ -actin	Bcl-2/Bax
I/R	59.75 $\pm$ 6.82	113.07 $\pm$ 6.78	97.76 $\pm$ 13.64	2.79 $\pm$ 0.27	34.96 $\pm$ 3.25
Fasudil	72.03 $\pm$ 7.25**	146.47 $\pm$ 13.17**	119.82 $\pm$ 21.01*	2.32 $\pm$ 0.54	52.26 $\pm$ 5.09**
Fasudil+Wort	65.83 $\pm$ 1.61**	108.53 $\pm$ 4.67##	108.21 $\pm$ 17.51	2.92 $\pm$ 0.45	37.24 $\pm$ 5.16##

\* $P<0.05$ , \*\* $P<0.01$  vs I/R group; # $P<0.05$ , ## $P<0.01$  vs Fasudil group.

本研究应用 Langendorff 装置复制心肌 I/R 损伤模型,检测大鼠心肌缺血再灌注不同时间点心肌动力学改变, LVDP、+dp/dtmax 反映心肌收缩功能; LVDEP、-dp/dtmax 反映心肌的舒张功能<sup>[13]</sup>。实验结果显示,与 I/R 组相比, Rho 激酶抑制剂 Fasudil 组大鼠心肌再灌注期间各时间点 LVDP、 $\pm$ dp/dtmax 及 RPP 升高,抑制 LVDEP 的升高,说明 Fasudil 抑制 Rho 激酶后,心脏再灌注后收

缩和舒张机能得到改善。

乳酸脱氢酶是一种糖酵解酶,早期血清中 LDH 的升高见于急性心肌梗塞发作后,临床上常作为诊断急性心梗的标准之一; I/R 损伤时细胞膜通透性增加, LDH 释放增多,因此可将冠脉流出液中 LDH 含量作为判断受损的指标<sup>[14]</sup>。实验中观察到 Fasudil 抑制 Rho 激酶后降低了心肌再灌注期间 LDH 的释放,说明 Fasudil 抑制

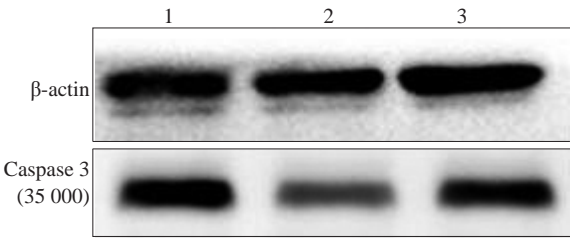


图 4 各组心肌组织中 caspase 3 蛋白表达  
Fig.4 Caspase 3 protein expression in rat myocardial tissue in different groups. 1: I/R group; 2: Fasudil group; 3: Fasudil+Wort group.

表 3 各组心肌组织中 caspase 3 蛋白表达平均灰度值  
Tab.3 Caspase 3 protein expression average grey value in rat myocardial tissue of different groups (Mean±SD, n=8)

Group	Caspase 3/β-actin
I/R	0.85±0.08
Fasudil	0.60±0.03**
Fasudil+Wort	0.74±0.10**

\*P<0.05, \*\*P<0.01 vs I/R group; \*\*P<0.01 vs Fasudil group.

Rho 激酶后减轻 I/R 损伤。

细胞死亡分为坏死、凋亡和自噬。凋亡和自噬的均参与 I/R 损伤<sup>[15]</sup>。抑制 Rho 激酶的心肌保护作用与降低细胞凋亡相关<sup>[1]</sup>，那么自噬是否亦参与其中呢？我们检测了自噬相关基因 Atg5 和 Beclin1 mRNA 的表达。哺乳动物的自噬相关基因 Beclin1 是酵母自噬基因 Apg6/Vps30 的同源物，是自噬重要的正调节因子，常作为自噬的定量检测的重要指标<sup>[16]</sup>。Atg5 是参与自噬调控的重要基因，Atg5 与 Atg12 复合物定位于自噬体膜的表面，促进自噬体膜的伸展扩张，诱导自噬体的形成，是自噬体形成所必须的重要因素<sup>[17-18]</sup>。结果显示 Fasudil 组 Atg5 和 Beclin1 mRNA 表达增加，提示 Fasudil 抑制 Rho 激酶抗心肌 I/R 损伤作用中诱导了自噬的发生。进一步应用自噬抑制剂渥曼青霉素发现，自噬减弱的同时 Fasudil 的抗心肌 I/R 损伤作用减弱，提示 Fasudil 抑制 Rho 激酶后可能通过诱导自噬的发生发挥心肌保护作用。

I/R 损伤中凋亡和自噬共同参与，且两者间存在一定联系。HL-1 心肌细胞研究中发现，下调自噬相关基因 Beclin1 或 Atg5 抑制自噬发生，同时也使 I/R 损伤诱导的细胞凋亡增加，而过表达 Beclin1 增强自噬，则使细胞凋亡发生率降低<sup>[19]</sup>。肝脏的缺血预处理上调小鼠体内自噬和凋亡的关键因素之一——血红素氧合酶 1，通过 p38-MAPK 信号通路诱导自噬，然后吞噬受损的线粒体抑制细胞凋亡，最终保护肝细胞免受 I/R 损伤<sup>[20]</sup>。那么抑制 Rho 激酶后，自噬与凋亡是何种关系呢？我们进一步检测 caspase 3 蛋白表达和 Bcl-2 和 Bax mRNA 的表达。Caspase 3，属于效应 caspase 蛋白，位于细胞凋亡有

序级联反应的下游，是最为重要的凋亡执行者、多种凋亡刺激信号的汇聚点，被激活后促进细胞凋亡。Bax 与线粒体渗透性转换孔蛋白结合促进细胞色素 C 从线粒体释放入细胞诱发细胞凋亡，Bcl-2 则可抑制 Bax 移位到线粒体膜上，从而抑制凋亡。可见 Bcl-2、Bax 和 caspase 3 均为参与细胞凋亡的重要分子<sup>[21-23]</sup>。实验结果显示 Fasudil 抑制 Rho 激酶诱导自噬发生的同时，caspase 3 蛋白表达降低，Bcl-2/Bax 比值增高，细胞凋亡减弱；自噬抑制剂渥曼青霉素干预后，自噬降低的同时 caspase 3 蛋白表达增加，Bcl-2/Bax 比值降低，细胞凋亡增加，提示抑制 Rho 激酶后诱导自噬的发生，可减轻细胞凋亡。

综上所述，离体大鼠心肌 I/R 损伤模型中，在 Fasudil 抑制 Rho 激酶对抗心肌损伤而保护心肌中可能诱导了自噬的发生，自噬的发生影响了细胞凋亡，使凋亡降低。但是抑制 Rho 激酶通过何种途径诱导自噬的发生，以及自噬和凋亡相互作用的具体机制还需阐明，这也是我们下一步的研究工作。

参考文献：

[1] Zhang J, Liu XB, Cheng C, et al. Rho-kinase inhibition is involved in the activation of PI3-kinase/Akt during ischemic-preconditioning-induced cardiomyocyte apoptosis [J]. Int J Clin Exp Med, 2014, 7(11): 4107-14.

[2] Kiss A, Tratsiakovich Y, Gonon AT, et al. The role of arginase and rho kinase in cardioprotection from remote ischemic preconditioning in non-diabetic and diabetic rat *in vivo* [J]. PLoS One, 2014, 9(8): 0104731.

[3] Li L, Xu J, He L, et al. The role of autophagy in cardiac hypertrophy [J]. Acta Biochim Biophys Sin (Shanghai), 2016, 48(6): 491-500.

[4] Mijaljica D, Prescott M, Devenish RJ. Autophagy in disease [J]. Methods Mol Biol, 2010, 648: 79-92.

[5] Jiang H, Xiao J, Kang B. et al. PI3K/SGK1/GSK3β signaling pathway is involved in inhibition of autophagy in neonatal rat cardiomyocytes exposed to hypoxia/reoxygenation by Hydrogen sulfide [J]. Exp Cell Res, 2016, 345(2): 134-40.

[6] Yan L, Vatner DE, Kim SJ, et al. Autophagy in chronically ischemic myocardium [J]. Proc Natl Acad Sci USA, 2005, 102(39): 13807-12.

[7] Araki M, Motojima K. Hydrophobic statins induce autophagy in cultured human rhabdomyosarcoma cells [J]. Biochem Biophys Res Commun, 2008, 367(2): 462-7.

[8] Bessho M, Aki T, Funakoshi T, et al. Rho-Kinase inhibitor Y-27632 attenuates Arsenic trioxide toxicity in H9c2 cardiomyoblastoma cells [J]. Cardiovasc Toxicol, 2013, 13(3): 267-77.

[9] Kang PF, Wu WJ, Tang Y, et al. Activation of ALDH2 with Low Concentration of Ethanol Attenuates Myocardial Ischemia/Reperfusion Injury in Diabetes Rat Model [J]. Oxid Med Cell Longev. 2016, 2016: 6190504.

[10] Yada T, Shimokawa H, Hiramatsu O, et al. Beneficial effect of hydroxyfasudil, a specific Rho-kinase inhibitor, on ischemia/reperfusion injury in canine coronary microcirculation *in vivo* [J]. J

Am Coll Cardiol, 2005, 45(4): 599-607.

- [11] Hamid SA, Bower HS, Baxter GF. Rho kinase activation plays a major role as a mediator of irreversible injury in reperfused myocardium [J]. Am J Physiol Heart Circ Physiol, 2007, 292(6): H2598-606.
- [12] 叶红伟, 康品方, 王洪巨, 等. 乙醛脱氢酶2在法舒地尔心肌保护作用中的机制探讨[J]. 中国老年学杂志, 2013, 33(5): 1070-2.
- [13] 董淑英, 童旭辉, 刘浩, 等. 石榴多酚对心肌缺血/再灌注损伤大鼠心功能的保护作用[J]. 南方医科大学学报, 2012, 32(7): 924-7.
- [14] 赵亮, 李芝, 钱令波, 等. 海州香薷总黄酮对大鼠离体心脏缺血/再灌注损伤的保护作用[J]. 中国应用生理学杂志, 2014, 30(2): 161-5.
- [15] Chen C, Hu LX, Dong T, et al. Apoptosis and autophagy contribute to gender difference in cardiac ischemia-reperfusion induced injury in rats[J]. Life Sci, 2013, 93(7): 265-70.
- [16] Kang R, Zeh HJ, Lotze MT, et al. The beclin 1 network regulates autophagy and apoptosis[J]. Cell Death Differ, 2011, 18(4): 571-80.
- [17] Vij A, Randhawa R, Parkash J, et al. Investigating regulatory signatures of human autophagy related gene 5 (ATG5) through functional in silico analysis[J]. Meta Gene, 2016, 9: 237-48.
- [18] Cao L, Fu M, Kumar S, et al. Methamphetamine potentiates HIV-1 gp120-mediated autophagy via Beclin-1 and Atg5/7 as a pro-survival response in astrocytes[J]. Cell Death Dis, 2016, 7(10): e2425.
- [19] Hamacher-Brady A, Brady NR, Gottlieb RA. Enhancing macroautophagy protects against ischemia/reperfusion injury in cardiac myocytes[J]. J Biol Chem, 2006, 281(40): 29776-87.
- [20] Wang Y, Shen J, Xiong X, et al. Remote ischemic preconditioning protects against liver Ischemia-Reperfusion injury via Heme oxygenase-1-Induced autophagy[J]. PLoS One, 2014, 9(6): e98834.
- [21] 邱晓晓, 戴雍月, 宋张娟, 等. SP600125对大鼠肺缺血/再灌注损伤的保护作用及机制[J]. 中国应用生理学杂志, 2012, 28(3): 255-8.
- [22] 王洪巨, 康品方, 叶红伟, 等. 乙醛脱氢酶2在糖尿病大鼠心肌缺血/再灌注损伤中的抗凋亡作用[J]. 南方医科大学学报, 2012, 32(3): 345-8.
- [23] Zhang WP, Zong QF, Gao Q, et al. Effects of endomorphin-1 postconditioning on myocardial ischemia/reperfusion injury and myocardial cell apoptosis in a rat model[J]. Mol Med Rep, 2016, 14(4): 3992-8.

(编辑: 经媛)

(上接1705页)

- [23] Zhang C, Long F, Wan J, et al. MicroRNA-205 acts as a tumor suppressor in osteosarcoma via targeting RUNX2 [J]. Oncol Rep, 2016, 35(6): 3275-84.
- [24] Guan B, Li Q, Li XH, et al. MicroRNA-205 targeted Krüppel-like factor 12 and regulated MDA-MB-468 cells apoptosis in basal-like breast carcinoma [J]. Zhonghua Yi Xue Za Zhi, 2016, 96(26): 2070-5.
- [25] Huo L, Wang Y, Gong Y, et al. MicroRNA expression profiling identifies decreased expression of miR-205 in inflammatory breast cancer[J]. Mod Pathol, 2016, 29(4): 330-46.
- [26] Vandewalle C, Van Roy F, Berx G. The role of the ZEB family of transcription factors in development and disease[J]. Cell Mol Life Sci, 2009, 66(5): 773-87.
- [27] Hurteau GJ, Carlson JA, Spivack SD, et al. Overexpression of the microRNA hsa-miR-200c leads to reduced expression of transcription factor 8 and increased expression of E-cadherin [J]. Cancer Res, 2007, 67(17): 7972-6.
- [28] Wang G, Kwan BC, Lai FM, et al. Urinary miR-21, miR-29, and miR-93: novel biomarkers of fibrosis[J]. Am J Nephrol, 2012, 36(5): 412-8.
- [29] Yamada Y, Enokida H, Kojima S, et al. MiR-96 and miR-183 detection in urine serve as potential tumor markers of urothelial carcinoma: correlation with stage and grade, and comparison with urinary cytology[J]. Cancer Sci, 2011, 102(3): 522-9.
- [30] Lv LL, Cao YH, Ni HF, et al. MicroRNA-29c in urinary exosome/microvesicle as a biomarker of renal fibrosis [J]. Am J Physiol Renal Physiol, 2013, 305(8): F1220-7.

(编辑: 吴锦雅)